

استفاده از روش‌های مختلف جدادسازی جریان پایه چشمه‌های کارستی بر مبنای محتوای ایزوتوپی (مطالعه موردی: چشمه کارستی کهمان)

دریافت مقاله: ۹۸/۶/۹ پذیرش نهایی: ۹۹/۷/۱۲

صفحات: ۲۶۹-۲۸۶

اباذر سلگی: دانشجوی دکتری مهندسی منابع آب، دانشکده مهندسی علوم آب، دانشگاه شهید چمران اهواز، ایران.^۱

Email: Abazar_solgi@yahoo.com

حیدر زارعی: دانشیار گروه هیدرولوژی و منابع آب، دانشکده مهندسی علوم آب، دانشگاه شهید چمران اهواز، ایران.

Email: zareih@scu.ac.ir

صفر معروفی: استاد گروه مهندسی منابع آب، دانشکده کشاورزی، دانشگاه بوعلی سینا، همدان، ایران.

Email: smarofi@yahoo.com

چکیده

روش‌های مختلفی برای جدادسازی جریان پایه مورد استفاده قرار گرفته است، یکی از این روش‌ها، روش‌های فیلترینگ می‌باشد. در این مطالعه از روش‌های فیلترینگ با الگوریتم‌های مختلف تک پارامتری، دو پارامتری، سه پارامتری، لینه و هولیک، چاپمن، فیوری و گوپتا، اکهارت و اوما برای جدادسازی جریان پایه روزانه چشمه کارستی کهمان در شهرستان الشتر استفاده شده است. دوره آماری مورد استفاده یک دوره آماری ۲۷ ساله (سال آبی ۱۳۷۰-۷۱ تا ۱۳۹۶-۹۷) بوده است. از روش محتوای ایزوتوپی به عنوان شاخص برای جدادسازی جریان پایه استفاده شده است. داده‌های نمونه برداری شده در سال آبی (۱۳۹۶-۹۷) در آزمایشگاه شرکت مصباح انرژی ایران آنالیز شد. با توجه به اینکه هر الگوریتم دارای پارامترهای مختلفی می‌باشد، ابتدا پارامترهای هر الگوریتم بر مبنای محتوای ایزوتوپی در سال آبی ۱۳۹۶-۹۷ بهینه شدند. سپس از پارامترهای بهینه شده برای دوره آماری ۲۷ ساله استفاده گردید. در پایان با استفاده از معیارهای مختلف ارزیابی، الگوریتم‌های مختلف با هم مقایسه شدند. نتایج نشان داد که عملکرد الگوریتم اکهارت بهتر از دیگر الگوریتم‌ها بوده است. این الگوریتم شاخص جریان پایه و آب سطحی را به ترتیب ۸۱ و ۱۹ درصد برآورد کرده است.

کلید واژگان: محتوای ایزوتوپی، جدادسازی جریان پایه، چشمه کارستی کهمان، روش‌های فیلترینگ.

۱. نویسنده مسئول: اهواز، دانشگاه شهید چمران، دانشکده مهندسی علوم آب، گروه مهندسی منابع آب

مقدمه

درک و داشتن دانش از فرآیندهای هیدرولوژیکی حوضه یکی از اصول مهم و اساسی در تضمین مدیریت کمی و کیفی منابع منابع آب سطحی و زیرزمینی یک حوضه آبریز است؛ که این امر با داشتن آگاهی از رفتار جریان‌های آب و اندرکنش بین آب‌های سطحی و زیرزمینی به دست می‌آید. هرگاه سطح ایستای آب زیرزمینی با سطح توپوگرافی برخورد نماید، در محل برخورد این دو سطح، چشم به وجود می‌آید. چشم‌های کارستی، به جریان آبی گفته می‌شود که به طور طبیعی از کارست خارج می‌گردد. چشم‌های کارستی عموماً دارای دبی زیاد می‌باشند و آبدهی آن‌ها در طول سال دستخوش تغییرات زیاد می‌باشد و علت این امر مخزن تنظیم‌کننده‌ی عظیم کارستی می‌باشد، مگر آنکه تغییر رژیم هیدرولوژی در سال‌های متوالی موجب تغییر دبی این چشم‌های گردد. آبدهی چشم‌های پنهان‌های کارستی و سازنده‌ای سخت، بازتاب بارندگی منطقه و تقاضه است و بررسی آن‌ها، اطلاعات بسیار سودمندی درباره ویژگی‌های هیدرودینامیکی آبخوان در اختیار قرار می‌دهد. بر اساس آمار و اطلاعات گردآوری شده از این چشم‌های و تحلیل آن‌ها، شناخت ویژگی‌های محیط کارستی و سازنده‌ای سخت امکان‌پذیر می‌شود. از مهم‌ترین عوامل موردستجوش در این چشم‌های انتخابی، میزان آبدهی آن‌هاست. جریان پایه در چشم‌های کارستی و رودخانه‌ها، از مواردی هستند که به شدت برنامه‌ریزی بخش منابع آب و مسائل زیستمحیطی کشور را تحت تأثیر قرار می‌دهند چراکه، بیشتر طرح‌ها و مسائل زیستمحیطی و منابع آب با توجه به جریان پایه چشم‌های و رودخانه‌ها، امکان ایجاد و بهره‌برداری دارند. لذا دقت در برآورد و سهم این بخش، می‌تواند کمک بسیار بزرگی به بخش آب کشور باشد. روش‌های جداسازی جریان پایه به طور کلی به دو دسته ردبایاب و غیردبایاب تقسیم‌بندی می‌شوند. هر یک از این روش‌ها، شامل تکنیک‌های مختلفی می‌باشند. روش‌های غیردبایاب شامل: تکنیک‌های جداسازی گرافیکی و تکنیک‌های جداسازی فیلترینگ و ... می‌باشند. از روش‌های ردبایاب می‌توان به روش‌های ایزوتوپی و شیمی نگار اشاره نمود. روش‌های ردبایاب دقیق‌ترین روش‌ها می‌باشند. استفاده از روش‌های ایزوتوپی هزینه‌بر و زمان‌بر می‌باشد. روش‌های گرافیکی با وجود سریع بودن، اغلب نتایج قابل قبولی ارائه نمی‌دهند. روش‌های فیلترینگ عموماً دارای دقت قابل قبولی بوده و سریع هم به نتیجه می‌رسند. تاکنون فیلترهای مختلفی برای جداسازی جریان پایه ارائه شده است که از آن جمله می‌توان به روش‌های بسته HYSEP^۱، الگوریتم‌های چاپمن، لینه و هولیک، اکهاردت، فیوری و گوپتا، اوما، یک پارامتری، دو پارامتری و سه پارامتری اشاره نمود. در ادامه برخی از مطالعات صورت گرفته در این زمینه اشاره می‌گردد:

آکسوی و همکاران (۲۰۰۹) از روش جداسازی جریان پایه، روش موسسه هیدرولوژی انگلستان^۲ (UKIH)، همراه با روش جداسازی فیلتر دیجیتال بازگشتی (RDF) استفاده نمودند و همچنین این دو روش را ادغام کردند و روشی تحت عنوان جداسازی جریان پایه حداقل هموار فیلتر شده (FUKIH) ارائه نمودند که در آن روش UKIH برای سری زمانی روزانه بکار گرفته شد. آن‌ها با به کارگیری این روش در تعدادی از حوضه‌های

1. Hydrograph Separation
2. United Kingdom Institute of Hydrology

واقع در غرب دریای سیاه به این نتیجه رسیدند که روش RDF و FUKIH به دلیل عدم استفاده از درون‌پایی خطی ساختار واقعی تری از جریان پایه را ارائه می‌دهند. فلامرزی و همکاران (۲۰۱۴)، از روش‌های ADUKIH و RDF برای جداسازی جریان پایه رودخانه در حوضه ابوالعباس در ایران استفاده کردند. نتایج آن‌ها نشان داد که روش RDF دارای عملکرد بهتری نسبت به روش ADUKIH می‌باشد. رادرا و همکاران (۲۰۱۵) استفاده از شاخص‌های جریان پایه را برای شناخت جریان پایه و جریان سریع در ۱۵۰ حوضه در آناتاریو (کانادا) مورد بررسی قرار دادند. آن‌ها از ۶ روش PART، فیلتر دیجیتال بازگشتی (RDF)، UKIH، حداقل موضعی، فواصل ثابت و فواصل متحرک استفاده کردند. آن‌ها ابراز داشتند که مقدار BFI بالای ۸۰ درصد، در خاک‌های گروه A و B و کمتر از ۸۰ درصد در گروه‌های C و D اتفاق می‌افتد. مینا (۲۰۱۷) به بررسی جریان پایه برای سه حوضه در منطقه شمال شرقی رومانی پرداخت. ایشان از ۶ روش حداقل موضعی، فیلتر دیجیتال بازگشتی با الگوریتم‌های یک پارامتری، چاپمن، اکهاردت، Talaksen و مدل WHAT استفاده کردند. نتایج نشان داد که الگوریتم‌های اکهاردت و چاپمن مناسب‌تر بوده‌اند.

در ایران مالی و محمدی (۱۳۹۳) روش‌های برآورده جریان پایه در دو چشمۀ کارستی پیرغار و دیمه واقع در استان چهارمحال و بختیاری را مورد ارزیابی قرار دادند. آن‌ها تغییرات دبی جریان پایه را بر اساس شیمی نگار چشمۀ، به عنوان معیار ارزیابی و مبنای مقایسه جهت انتخاب مناسب‌ترین روش فیلتر دیجیتال بازگشتی و روش‌های مرسوم جدایش جریان پایه چشمۀ‌های کارستی در نظر گرفتند. با استفاده از روش فیلتر اکهاردت که مناسب‌ترین روش تفکیک جریان در بین روش‌های دیجیتال الگوریتم عددی بود، میانگین شاخص جریان پایه در چشمۀ‌های دیمه و پیرغار به ترتیب ۰/۹ و ۰/۶۱ محاسبه شده است. کاظمی و قرمز چشمۀ (۱۳۹۵) جریان پایه را بر اساس شاخص منحنی تداوم جریان برای رودخانه‌های ناحیه خزری ایران محاسبه کردند. آن‌ها از روش‌های حداقل موضعی، محدوده زمانی ثابت و محدوده زمانی متحرک و روش‌های فیلتر دیجیتال بازگشتی یک و دو پارامتری و چاپمن استفاده کردند. نتایج آن‌ها نشان داد که روش فیلتر دیجیتال بازگشتی یک پارامتری روش مناسبی بوده است. مهری و همکاران (۱۳۹۶) مقایسه روش‌های جداسازی جریان پایه رودخانه و تغییرات فصلی آن در تعدادی از آبخیزهای استان اردبیل را مورد بررسی قرار دادند. آن‌ها از روش حداقل محلی، فواصل ثابت، فواصل جابه‌جاشونده، روش‌های فیلتر دیجیتال بازگشتی شامل الگوریتم یک، دو و سه پارامتری، لینه و هولیک، چاپمن، ایما استفاده کردند. نتایج آن‌ها نشان داد که روش دو پارامتری عملکرد بهتری داشته است. حصاری و همکاران (۱۳۹۸) مقایسه اثر روش‌های مختلف فیلتر کردن جریان‌های روزانه برای جداسازی جریان پایه در رودخانه‌های غرب دریاچه ارومیه را بررسی کردند. آن‌ها الگوریتم‌های لینه و هولیک و اکهاردت را با فیلتر ۰/۹ مناسب دانستند.

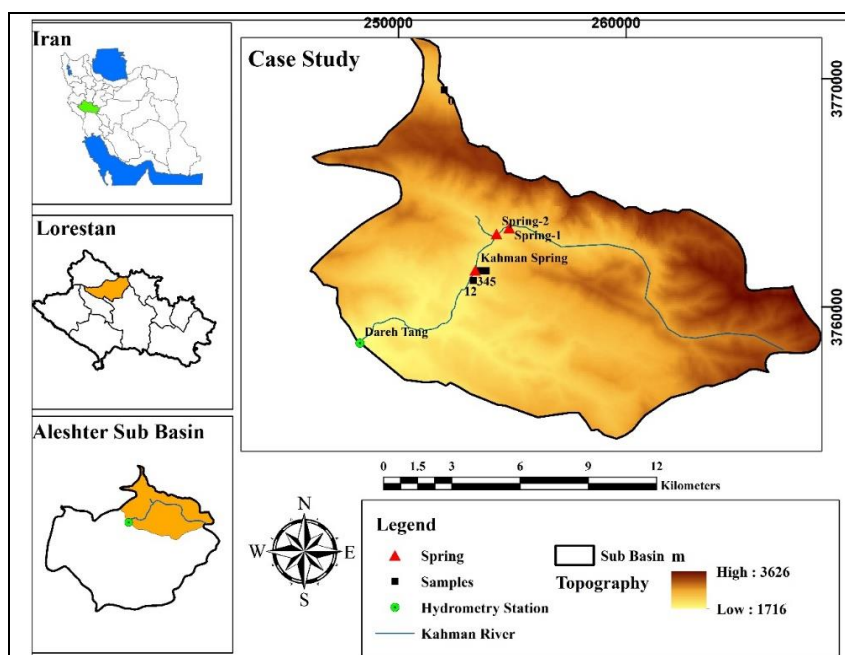
علی‌رغم حالت مرسوم که جداسازی جریان پایه، برای رودخانه‌ها مورد بررسی قرار می‌گرفته است، در این مطالعه اقدام به بررسی جداسازی این جریان برای هیدرولگراف چشمۀ کارستی کهمان شده است. با توجه به بررسی منابع مشخص شد که بیشتر مطالعات جداسازی جریان پایه، متمرکز بر رودخانه‌ها بوده است و تنها مطالعه مالی و محمدی (۱۳۹۳) در ایران روی چشمۀ‌های کارستی صورت گرفته است.

در این مطالعه از روش فیلتر دیجیتال بازگشتی با الگوریتم‌های مختلف بر مبنای روش محتوای ایزوتوپی برای جداسازی جریان پایه چشمی که همان در شهرستان الشتر استفاده شده است. برای این منظور از نتایج آزمایشات ایزوتوپی که در سال آبی ۱۳۹۶-۹۷ نمونه‌برداری شده‌اند، استفاده گردید.

روش تحقیق

معرفی محدوده مورد مطالعه

چشمی که همان در شهرستان الشتر از توابع استان لرستان قرار دارد. این چشمی در قسمت شرقی دره که همان قرار دارد. در شکل (۱) موقعیت چشمی که همان در استان لرستان و کشور ایران ارائه شده است. برای به دست آوردن آبدهی چشمی که همان از آمار ایستگاه هیدرومتری دره تنگ-که همان با کد ۹۵۴-۲۱-۹۵۴ استفاده شد. بررسی وضعیت آبدهی این ایستگاه در دوره آماری ۱۳۹۷ تا ۱۳۷۲ صورت گرفت. مساحت حوضه آبریز ایستگاه دره تنگ حدود ۱۸۰ کیلومتر مربع می‌باشد. متوسط آبدهی روزانه چشمی که همان ۲/۶۷ مترمکعب در ثانیه، حداقل آبدهی آن ۰/۲۲ و حداقل آن ۳۴/۶ مترمکعب در ثانیه بوده است.



شکل (۱). موقعیت چشمی که همان در استان لرستان و ایران.

داده و روش کار

اندازه‌گیری محتوای ایزوتوپی

ترکیب ایزوتوپی اکسیژن، از طریق طیفسنج جرمی اندازه‌گیری می‌شود. در این تحقیق محتوای ایزوتوپی آب توسط دستگاه طیفسنج 100 FT-IR در آزمایشگاه شرکت مصباح انرژی ایران تعیین شده است. این دستگاه ساخت جمهوری اسلامی ایران می‌باشد.

فیلتر دیجیتال بازگشتی

در روش فیلتر دیجیتال بازگشتی جریان کل به دو جزء جریان سریع و جریان پایه تجزیه و تکنیک‌های پردازش سیگنال بهمنظور حذف سیگنال جریان سریع با فرکانس بالا و در نهایت سیگنال جریان پایه با فرکانس پایین روی سری زمانی جریان اعمال می‌شود. این فیلترها می‌توانند روی جریان‌های پیوسته دراز مدت بکار برد شوند. الگوریتم‌هایی که در این مطالعه مورد بررسی قرار گرفته‌اند بدین شرح می‌باشند:

RDF-One Parameter

این الگوریتم مطابق رابطه (۱) بیان می‌شود. همان‌طوری که از نام این الگوریتم مشخص است دارای یک پارامتر K می‌باشد، این پارامتر که مربوط به حوضه ابخیز است ثابت بازگشت نام دارد. در این رابطه $q_{b(i)}$ جریان پایه فیلتر شده در زمان i بر حسب مترمکعب در ثانیه، $q_{(i)}$ جریان کل در زمان i بر حسب مترمکعب بر ثانیه است (Chapman and Maxwell, 1996).

$$q_{b(i)} = \frac{k}{2-k} q_{b(i-1)} + \frac{1-k}{2-k} q_{(i)} \quad (1)$$

Two parameter Algorithm

این الگوریتم شامل پارامتر تغییرپذیری شکل جدایش (C) که معادل $K-1$ می‌باشد، K همان ثابت بازگشت می‌باشد. این الگوریتم مطابق رابطه (۲) بیان می‌شود (Boughton, 1993).

$$q_{b(i)} = \frac{k}{1+C} q_{b(i-1)} + \frac{C}{1+C} q_{(i)} \quad (2)$$

Three parameter-IHACRES Algorithm

این الگوریتم شکل توسعه‌یافته الگوریتم دو پارامتری می‌باشد که بهمنظور جدایش جریان الگوریتمی که بارش موثر (u) را به اجزای سریع و آهسته تقسیم می‌کند، تعریف شده است. در این الگوریتم دو پارامتر q_f و q_b که به ترتیب معرف جریان رواناب مستقیم و جریان پایه است به صورت روابط (۳) و (۴) می‌باشند.

$$q_{b(i)} = \beta_s u_i - \alpha_s q_{b(i-1)} \quad (3)$$

$$q_f(i) = \beta_q u_i - \alpha_q q_f(i-1) \quad (4)$$

در روابط (۳) و (۴) α_s و β_s پارامتر فیلتر و پسوند q و s به ترتیب به جریان سریع و آهسته اشاره می‌کند. لازم به ذکر است که مقدار α_s منفی است. با حذف u از این معادلات، بیان رواناب مستقیم به صورت تفاضل بین جریان پایه و جریان کل است. در نتیجه جریان پایه از رابطه (۵) به دست می‌آید.

$$q_{b(i)} = \frac{\alpha_s \beta_q - \alpha_q \beta_s}{\beta_q + \beta_s} q_{b(i-1)} + \frac{\beta_s}{\beta_q + \beta_s} (q_{(i)} + \alpha_q q_{(i-1)}) \quad (5)$$

$$q_{b(i)} = \frac{K}{1+C} q_{b(i-1)} + \frac{C}{1+C} (q_{(i)} + \alpha_q q_{(i-1)}) \quad \text{رابطه (۶)}$$

با قرار دادن $K = -\alpha_s - \alpha_q \frac{\beta_s}{\beta_q}$ و $C = \frac{\beta_s}{\beta_q}$ در معادله (۵) الگوریتم سه پارامتری به صورت رابطه (۶) تبدیل می‌شود که در آن $q_{(i-1)}$ دبی کل برای لحظه پیش از نمونه‌برداری α می‌باشد (مالی و محمدی، ۱۳۹۳).

الگوریتم اکهاردت Eckhardt Algorithm

این الگوریتم دارای دو پارامتر می‌باشد. ۱) ثابت منحنی فرود α و ۲) مقدار ماکزیمم شاخص جریان پایه BFI_{max} که قابل اندازه‌گیری نیست، اما با انتبارق نتایج روش‌های دیگر بهینه‌سازی شده است. در رابطه (۷) که برای جدایش جریان پایه استفاده می‌شود، شرط $q_{b(i)} \leq q_{(i)}$ باید برقرار باشد. در این فیلتر تا حدودی ویژگی‌های هیدرولوژیک جریان و حوضه در نظر گرفته می‌شود. جهت کالیبره کردن پارامتر BFI_{max} استفاده از داده‌های ردیابی جهت کالیبره کردن پیشنهاد شده است (Eckhardt, 2008).

$$q_{b(i)} = \frac{(1 - BFI_{max})\alpha q_{b(i-1)} + (1 - \alpha)BFI_{max}q_{(i)}}{1 - \alpha BFI_{max}} \quad \text{رابطه (۷)}$$

در این روش زمانی که پارامتر ثابت بازگشت در دامنه $0/9$ تا $0/95$ باشد مقدار پارامتر BFI_{max} برای رودخانه دائمی با آبخوان متخلخل برابر $0/8$ ، برای رودخانه غیردائمی با آبخوان متخلخل برابر $0/5$ و برای رودخانه‌های دائمی با آبخوان سنگی برابر $0/25$ در نظر گرفته می‌شود.

الگوریتم لینه و هولیک Lyne & Hollick Algorithm

این الگوریتم به صورت رابطه (۸) بیان می‌شود. در این رابطه $q_{f(i)}$ جریان سریع فیلترشده برای α امین لحظه نمونه‌برداری، $q_{f(i-1)}$ جریان سریع فیلترشده برای لحظه پیش از نمونه‌برداری α ثابت فیلتر است (Lyne and Hollick, 1979).

$$q_{f(i)} = \alpha q_{f(i-1)} + (q_{(i)} + q_{(i-1)}) \frac{1+\alpha}{2} \quad \text{رابطه (۸)}$$

الگوریتم چاپمن Chapman Algorithm

این الگوریتم که به صورت رابطه (۹) بیان می‌شود شکل توسعه یافته الگوریتم لینه و هولیک می‌باشد. در این رابطه $q_{f(i)}$ جریان سریع فیلترشده برای α امین لحظه نمونه‌برداری، $q_{f(i-1)}$ جریان سریع فیلترشده برای لحظه پیش از نمونه‌برداری α ثابت فیلتر است (Chapman, 1999).

$$q_{f(i)} = \frac{3\alpha - 1}{3 - \alpha} q_{f(i-1)} + \frac{2}{3 - \alpha} (q_{(i)} + \alpha q_{(i-1)}) \quad \text{رابطه (۹)}$$

Furey & Gupta Algorithm

در این الگوریتم که به صورت رابطه (۱۰) بیان می‌شود، $q_{(i-d-1)}$ دبی کل برای لحظه پیش از نمونه‌برداری i با در نظر گرفتن زمان تأخیر بر حسب مترمکعب در ثانیه، $q_{b(i-d-1)}$ جریان پایه فیلتر شده برای لحظه پیش از نمونه‌برداری i با در نظر گرفتن زمان تأخیر بر حسب مترمکعب در ثانیه، c_1 پارامتر فیزیکی فیلتر مربوط به جریان سطحی و c_3 پارامتر فیزیکی فیلتر مربوط به جریان زیرزمینی، d زمان تأخیر و γ ثابت فروضه می‌باشد (Furey and Gupta, 2001).

$$q_{f(i)} = (1 - \gamma)q_{b(i-1)} + \gamma \frac{c_3}{c_1} (q_{(i-d-1)} + q_{b(i-d-1)}) \quad \text{رابطه (۱۰)}$$

EWMA Algorithm

در این الگوریتم برای هر دوره زمانی t جریان پایه $q_{b(t)}$ از یک مجموعه سری زمانی با رابطه (۱۱) به دست می‌آید. در این رابطه α پارامتر ثابت فیلتر می‌باشد.

$$q_{b(t)} = \alpha q_{(t)} + (1 - \alpha)q_{b(t-1)} \quad 0 < \alpha < 1, \quad t \geq 3 \quad \text{رابطه (۱۱)}$$

برای آشنایی بیشتر با این الگوریتم‌ها می‌توان به منبع مالی و همکاران (۱۳۹۳) مراجعه نمود.

معیارهای ارزیابی

سه معیار، ضریب تعیین (R^2)، جذر میانگین مربعات خطا (RMSE) و ضریب تعیین تعدیل شده^۱ برای ارزیابی الگوریتم‌های مختلف در این مطالعه استفاده شده است. این معیارها به صورت روابط (۱۲) تا (۱۴) بیان می‌شوند.

$$\text{RMSE} = \sqrt{\frac{\sum(Q_{\text{obs}} - Q_{\text{pre}})^2}{n}} \quad \text{رابطه (۱۲)}$$

$$R^2 = 1 - \frac{\sum_{i=1}^N (Q_{\text{obs}} - Q_{\text{pre}})^2}{\sum_{i=1}^N (Q_{\text{obs}} - \bar{Q})^2} \quad \text{رابطه (۱۳)}$$

$$R^2_{\text{adjusted}} = 1 - ((1 - R^2) \times \frac{N - 1}{N - m - 1}) \quad \text{رابطه (۱۴)}$$

^۱. Adjusted R Square

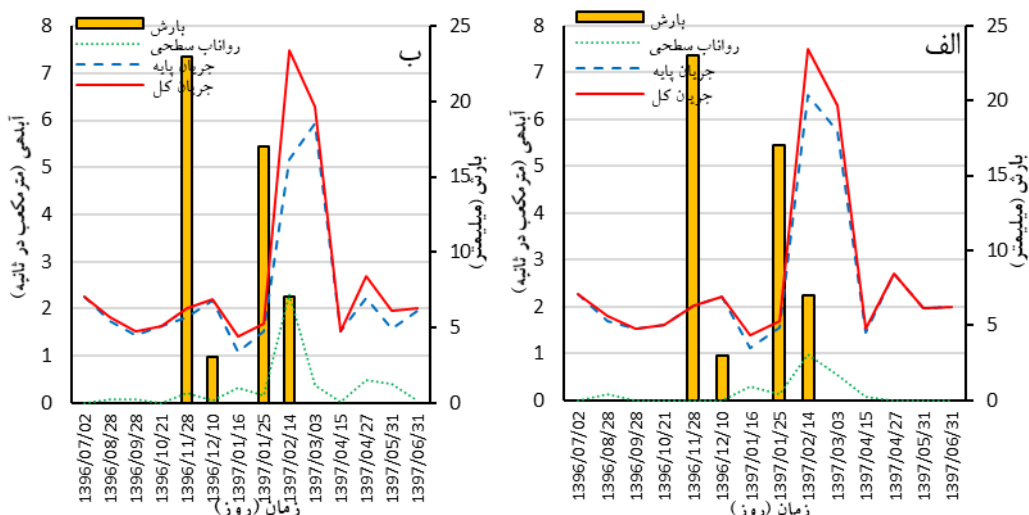
در روابط (۱۲ تا ۱۴)، n : تعداد داده‌ها، \bar{Q} : میانگین داده‌های مشاهداتی، Q_{obs} : داده‌های مشاهداتی، Q_{pre} : داده‌های محاسباتی، Q_{\min} : حداقل داده‌ها می‌باشد. معیار آماری Adjusted R Square، R^2_{adjusted} ، علاوه بر ضریب R^2 تابع تعداد نمونه و تعداد پارامترهای استفاده شده نیز می‌باشد، لذا دارای دقیق‌تری بوده و Overfitting در آن کمتر اتفاق می‌افتد. هر چه معیار R^2_{adjusted} به عدد یک نزدیک باشد نتیجه حاصل بهتر خواهد بود.

نتایج

به منظور بررسی داده‌های پرت، از روش باکس پلات استفاده شد. به دلیل اینکه روش اصلی و مبنا در این مطالعه برای جداسازی جریان پایه چشم‌کشیده که همان روش ایزوتوپی می‌باشد، ابتدا نتایج جداسازی با این روش ارائه شده سپس نتایج روش RDF با الگوریتم‌های مختلف در مقایسه با روش ایزوتوپی ارائه می‌شوند.

نتایج روش محتوای ایزوتوپی

نتایج حاصل از جداسازی جریان پایه چشم‌کشیده که همان بر اساس نتایج مقادیر ایزوتوپی ^{18}O و ^{2}H در شکل (۲) و جدول (۱) ارائه شده است. نتایج نشان می‌دهند که سهم جریان پایه بر اساس مقدار ایزوتوپی ^{18}O و ^{2}H به ترتیب به ۹۵/۶ و ۹۰/۶ درصد می‌رسد و سهم جریان سطحی بر اساس مقدار ایزوتوپی ^{18}O و ^{2}H به ترتیب ۴/۴ و ۹/۴ درصد می‌باشد.



شکل (۲). جداسازی جریان پایه چشم‌کشیده که همان با مقادیر ایزوتوپی-الف) ^{18}O ، ب) ^{2}H .

جدول (۱). نتایج حاصل از جداسازی جریان پایه چشمکه کهمان با مقادیر ایزوتوپ.

$\delta^{2\text{H}}$ (‰)	$\delta^{18\text{O}}$ (‰)	رواناب سطحی (%)		جریان کل (مترمکعب در ثانیه)	تاریخ
		جریان پایه (%)	$\delta^{2\text{H}}$ (‰)		
-/-	-/-	100/0	100/0	2/26	۱۳۹۶/۰۷/۰۲
۴/۲	۶/۶	۹۵/۸	۹۳/۴	1/۸۰	۱۳۹۶/۰۸/۲۸
۵/۵	-/-	۹۴/۵	100/0	1/۵۲	۱۳۹۶/۰۹/۲۸
-/-	-/-	100/0	100/0	1/۶۲	۱۳۹۶/۱۰/۲۱
۱۰/۳	-/-	۸۹/۷	100/0	2/۰۲	۱۳۹۶/۱۱/۲۸
۱/۶	-/-	۹۸/۴	100/0	2/۲۱	۱۳۹۶/۱۲/۱۰
۲۳/۱	۲۰/۵	۷۶/۹	۷۹/۵	1/۴۰	۱۳۹۷/۰۱/۱۶
۹/۶	۷/۴	۹۰/۴	۹۲/۶	1/۶۸	۱۳۹۷/۰۱/۲۵
۳۰/۹	۱۳/۱	۶۹/۱	۸۶/۹	7/۴۹	۱۳۹۷/۰۲/۱۴
۵/۸	۸/۸	۹۴/۲	۹۱/۲	6/۲۹	۱۳۹۷/۰۳/۰۳
۰/۹	-/-	۹۹/۱	۹۴/۸	1/۵۲	۱۳۹۷/۰۴/۱۵
۱۷/۶	-/-	۸۲/۴	100/0	2/۷۰	۱۳۹۷/۰۴/۲۷
۱۹/۷	-/-	۸۰/۳	100/0	1/۹۶	۱۳۹۷/۰۵/۳۱
۲/۱	-/-	۹۷/۹	100/0	1/۹۹	۱۳۹۷/۰۶/۳۱
۹/۴	۴/۴	۹۰/۶	۹۵/۶	2/۶۰	میانگین
۳۰/۹	۲۰/۵	100/0	100/0	7/۴۹	حداکثر

نتایج روش‌های فیلتر دیجیتال بازگشته

هر یک از الگوریتم‌های روش فیلتر دیجیتال بازگشتی، دارای حداقل یک پارامتر فیلتر هستند. بهمنظور بهینه‌سازی پارامترهای فیلتر در این الگوریتم‌ها، از مقادیر ایزوتوپی و جریان پایه جداسازی شده در روزهای سال آبی ۱۳۹۶-۹۷ استفاده شد و با استفاده ازتابع RMSE مقدار بهینه پارامتر فیلتر در هر یک از الگوریتم‌ها مشخص گردید. سپس از پارامتر فیلتر برای کل دوره آماری استفاده گردید. برای محاسبه این الگوریتم‌ها از نرم افزار BFI+3.0 و برنامه‌نویسی در اکسل استفاده شده است.

نتایج روش فیلتر دیجیتال بازگشته- تک پارامتری

نتایج حاصل از به کار بردن این الگوریتم برای جداسازی جریان پایه چشمکه کهمان به ازای مقادیر بهینه پارامتر فیلتر در جدول (۲) ارائه شده است. این الگوریتم دارای مقدار بهینه فیلتر ۰/۸۴ بوده است. با استفاده از این الگوریتم شاخص جریان پایه و آب سطحی به ترتیب ۵۱ و ۴۹ درصد محاسبه شده است.

جدول (۲). نتایج روش فیلتر دیجیتال بازگشتی - تک پارامتری با مقادیر بهینه پارامتر فیلتر- چشمکه کهمان.

حداکثر	متوسط	حداقل	پارامتر	پارامتر فیلتر		روش- دوره آماری
				آلفا	۰/۸۴	
۳۴/۶۲	۲/۶۷	۰/۲۱۸	آبدھی (m^3/s)	جریان سطحی (m^3/s)	۰/۸۴	تک پارامتری ۱۳۹۷-۱۳۷۰
۲۵/۰۰	۱/۳۴	۰/۰۰۰	آبدھی (m^3/s)			
۱۲/۳۱	۱/۳۳	۰/۱۴۸	آبدھی (m^3/s)			
۸۵/۹۶	۴۸/۸۹	۰/۰۰	شاخص جریان سطحی (%)			
۱۰۰/۰۰	۵۱/۱۱	۱۴/۰۴	شاخص جریان پایه (%)			
۱۱/۱۰	۲/۵۸	۱/۰۴۶	آبدھی (m^3/s)	جریان سطحی (m^3/s)	۰/۸۴	تک پارامتری ۱۳۹۷-۱۳۹۶
۸/۳۳	۱/۲۹	۰/۰۶۳	آبدھی (m^3/s)			
۴/۱۹	۱/۲۹	۰/۶۸۳	آبدھی (m^3/s)			
۷۶/۴۹	۴۹/۰۴	۵/۶۴	شاخص جریان سطحی (%)			
۹۴/۳۶	۵۰/۹۶	۲۳/۵۱	شاخص جریان پایه (%)			

نتایج فیلتر دیجیتال بازگشتی- الگوریتم دو پارامتری

نتایج این الگوریتم برای جداسازی جریان پایه چشمکه کهمان به ازای مقادیر بهینه پارامترهای فیلتر K و C در جدول (۳) ارائه شده است. پارامتر دیگر یعنی C برابر K-1 می‌باشد. این الگوریتم دارای مقدار بهینه فیلترهای ۰/۱۶ و ۰/۱۶ بوده است. با استفاده از این الگوریتم شاخص جریان پایه و آب سطحی به ترتیب ۵۱ و ۴۹ درصد محاسبه شده است.

جدول (۳). نتایج روش فیلتر دیجیتال بازگشتی - دو پارامتری با مقادیر بهینه پارامتر فیلتر- چشمکه کهمان.

حداکثر	متوسط	حداقل	پارامتر	پارامترهای فیلتر		روش- دوره آماری
				C	K	
۳۴/۶۲	۲/۶۷	۰/۲۱۸	آبدھی (m^3/s)	جریان سطحی (m^3/s)	۰/۱۶	دو پارامتری ۱۳۹۷-۱۳۷۰
۲۵/۰۰	۱/۳۴	۰/۰۰۰	آبدھی (m^3/s)			
۱۲/۳۱	۱/۳۳	۰/۱۴۸	آبدھی (m^3/s)			
۸۵/۹۶	۴۸/۸۹	۰/۰۰	شاخص جریان سطحی (%)			
۱۰۰/۰۰	۵۱/۱۱	۱۴/۰۴	شاخص جریان پایه (%)			
۱۱/۱۰	۲/۵۸	۱/۰۴۶	آبدھی (m^3/s)	جریان سطحی (m^3/s)	۰/۱۶	دو پارامتری ۱۳۹۷-۱۳۹۶
۸/۳۳	۱/۲۹	۰/۰۶۳	آبدھی (m^3/s)			
۴/۱۹	۱/۲۹	۰/۶۸۳	آبدھی (m^3/s)			
۷۶/۴۹	۴۹/۰۴	۵/۶۴	شاخص جریان سطحی (%)			
۹۴/۳۶	۵۰/۹۶	۲۳/۵۱	شاخص جریان پایه (%)			

نتایج روش فیلتر دیجیتال بازگشتی - الگوریتم سه پارامتری

نتایج این روش برای جداسازی جریان پایه چشمه کهمان به ازای مقادیر بهینه پارامتر فیلتر آلفا، K و C در جدول (۴) ارائه شده است. این الگوریتم دارای مقادیر بهینه فیلترهای $0/84$ ، $0/408$ و $0/667$ بوده است. با استفاده از این الگوریتم شاخص جریان پایه و آب سطحی به ترتیب 95 و 5 درصد محاسبه شده است.

جدول (۴). نتایج روش فیلتر دیجیتال بازگشتی - سه پارامتری با مقادیر بهینه پارامترهای فیلتر - چشمه کهمان

حداکثر	متوسط	حداقل	پارامتر	پارامترهای فیلتر			روش - دوره آماری
				C	K	آلفا	
۳۴/۶۲	۲/۶۷	۰/۲۱۸	آبدھی (m^3/s)	۰/۶۶۷	۰/۴۰۸	۰/۸۴	سه پارامتری ۱۳۹۷-۱۳۷۰
۱۲/۶۹	۰/۱۵۳	۰/۰۰۰	جریان سطحی (m^3/s)				
۲۸/۸۲	۲/۵۲	۰/۲۱۸	جریان پایه (m^3/s)				
۶۰/۰۰	۵/۱۲	۰/۰۰	شاخص جریان سطحی (%)				
۱۰۰/۰۰	۹۴/۸۸	۴۰/۰۰	شاخص جریان پایه (%)				
۱۱/۱۰	۲/۵۸	۱/۰۴۶	آبدھی (m^3/s)				
۳/۳۲	۰/۱۳	۰/۰۰	جریان سطحی (m^3/s)				
۹/۵۳	۲/۴۵	۱/۰۳۶	جریان پایه (m^3/s)				
۴۳/۷۴	۴/۷۷	۰/۰۰	شاخص جریان سطحی (%)				
۱۰۰/۰۰	۹۵/۲۳	۵۶/۲۶	شاخص جریان پایه (%)				

نتایج فیلتر دیجیتال بازگشتی - الگوریتم لینه و هولیک

نتایج این الگوریتم برای جداسازی جریان پایه چشمه کهمان به ازای مقادیر بهینه پارامتر فیلتر آلفا در جدول (۵) ارائه شده است. این الگوریتم دارای مقدار بهینه فیلتر $0/6$ بوده است. با استفاده از این الگوریتم شاخص جریان پایه و آب سطحی به ترتیب ۹۷ و ۳ درصد محاسبه شده است.

جدول (۵). نتایج روش RDF - الگوریتم لینه و هولیک با مقادیر بهینه پارامتر فیلتر - چشمه کهمان

حداکثر	متوسط	حداقل	پارامتر	پارامترهای فیلتر		روش - دوره آماری
				آلفا		
۳۴/۶۲	۲/۶۷	۰/۲۱۸	آبدھی (m^3/s)	۰/۶	۰/۶	لینه و هولیک ۱۳۹۷-۱۳۷۰
۱۷/۸۰	۰/۱۱	۰/۰۰۰	جریان سطحی (m^3/s)			
۲۶/۴۳	۲/۵۶	۰/۲۱۸	جریان پایه (m^3/s)			
۸۰/۱۷	۲/۸۳	۰/۰۰	شاخص جریان سطحی (%)			
۱۰۰/۰۰	۹۷/۱۷	۱۹/۸۳	شاخص جریان پایه (%)			
۱۱/۱۰	۲/۵۸	۱/۰۴۶	آبدھی (m^3/s)			
۵/۵۶	۰/۰۸	۰/۰۰	جریان سطحی (m^3/s)			
۸/۶۵	۲/۵۰	۱/۰۴۶	جریان پایه (m^3/s)			
۵۷/۷۵	۲/۲۵	۰/۰۰	شاخص جریان سطحی (%)			
۱۰۰/۰۰	۹۷/۷۵	۴۲/۲۵	شاخص جریان پایه (%)			

نتایج روش فیلتر دیجیتال بازگشتی - الگوریتم چاپمن

نتایج این الگوریتم برای جداسازی جریان پایه چشمکه کهمان به ازای مقادیر بهینه پارامتر فیلتر آلفا در جدول (۶) ارائه شده است. این الگوریتم دارای مقدار بهینه فیلتر 0.829 بوده است. با استفاده از این الگوریتم شاخص جریان پایه و آب سطحی به ترتیب 51 و 49 درصد محاسبه شده است.

جدول (۶). نتایج روش RDF - الگوریتم چاپمن با مقادیر بهینه پارامتر فیلتر - چشمکه کهمان

حداکثر	متوسط	حداقل	پارامتر	پارامترهای فیلتر		روش - دوره آماری
				آلفا		
۳۴/۶۲	۲/۶۷	۰/۲۱۸	آبدھی (m^3/s)	۰/۸۲۹	چاپمن ۱۳۹۷-۱۳۷۰	
۲۶/۲۷	۱/۳۳	۰/۰۰۰	جریان سطحی (m^3/s)			
۱۲/۶۴	۱/۳۴	۰/۱۰۰	جریان پایه (m^3/s)			
۹۱/۷۴	۴۸/۷۳	۰/۰۰	شاخص جریان سطحی (%)			
۱۰۰/۰۰	۵۱/۲۷	۸/۲۶	شاخص جریان پایه (%)			
۱۱/۱۰	۲/۵۸	۱/۰۴۶	آبدھی (m^3/s)	۰/۸۲۹	چاپمن ۱۳۹۷-۱۳۹۶	
۸/۶۸	۱/۲۹	۰/۰۳۰	جریان سطحی (m^3/s)			
۴/۲۵	۱/۲۹	۰/۶۷۰	جریان پایه (m^3/s)			
۸۰/۶۶	۴۹/۰۲	۲/۷۰	شاخص جریان سطحی (%)			
۹۷/۳۰	۵۰/۹۸	۱۹/۳۴	شاخص جریان پایه (%)			

نتایج فیلتر دیجیتال بازگشتی - الگوریتم اکھاردت

نتایج این الگوریتم برای جداسازی جریان پایه چشمکه کهمان به ازای مقادیر بهینه پارامتر فیلتر آلفا در جدول (۷) ارائه شده است. مقدار پارامتر BFI_{max} در این روش 0.80 در نظر گرفته شد. این الگوریتم دارای مقدار بهینه فیلتر 0.930 می‌باشد. با استفاده از این الگوریتم شاخص جریان پایه و آب سطحی به ترتیب 81 و 19 درصد محاسبه شده است.

جدول (۷). نتایج روش RDF - الگوریتم اکھاردت با مقادیر بهینه پارامتر فیلتر - چشمکه کهمان

حداکثر	متوسط	حداقل	پارامتر	پارامترهای فیلتر		روش - دوره آماری
				آلفا		
۳۴/۶۲	۲/۶۷	۰/۲۱۸	آبدھی (m^3/s)	۰/۹۳۰	اکھاردت ۱۳۹۷-۱۳۷۰	
۱۹/۹۸	۰/۵۵	۰/۰۰۰	جریان سطحی (m^3/s)			
۱۹/۶۶	۲/۱۲	۰/۲۱۸	جریان پایه (m^3/s)			
۷۸/۱۰	۱۸/۹۵	۰/۰۰	شاخص جریان سطحی (%)			
۱۰۰/۰۰	۸۱/۰۵	۲۱/۹۰	شاخص جریان پایه (%)			
۱۱/۱۰	۲/۵۸	۱/۰۴۶	آبدھی (m^3/s)	۰/۹۳۰	اکھاردت ۱۳۹۷-۱۳۹۶	
۶/۶۸	۰/۵۲	۰/۰۰۰	جریان سطحی (m^3/s)			

۶/۷۰	۲/۰۶	۱/۰۴۶	جریان پایه (m^3/s)		
۶۲/۵۱	۱۹/۰۸	۰/۰۰	شاخص جریان سطحی (%)		
۱۰۰/۰۰	۸۰/۹۲	۳۷/۴۹	شاخص جریان پایه (%)		

نتایج فیلتر دیجیتال بازگشتی-الگوریتم ایما

نتایج این الگوریتم برای جداسازی جریان پایه چشمکه کهمان به ازای مقادیر بهینه پارامتر فیلتر آلفا در جدول (۸) ارائه شده است. این الگوریتم دارای مقدار بهینه فیلتر $۰/۶$ می‌باشد. با استفاده از این الگوریتم شاخص جریان پایه و آب سطحی به ترتیب ۹۹ و ۱ درصد محاسبه شده است.

جدول (۸). نتایج روش **RDF**-الگوریتم ایما با مقادیر بهینه پارامتر فیلتر چشمکه کهمان

حداکثر	متوسط	حداقل	پارامتر	پارامترهای فیلتر	روش-دوره آماری
				آلفا	
۳۴/۶۲	۲/۶۷	۰/۲۱۸	آبدھی (m^3/s)	۰/۶۰	ایما ۱۳۹۷-۱۳۷۰
۸/۴۳	۰/۰۵	۰/۰۰۰	جریان سطحی (m^3/s)		
۲۹/۵۷	۲/۶۲	۰/۲۱۸	جریان پایه (m^3/s)		
۴۰/۰۰	۱/۲۶	۰/۰۰	شاخص جریان سطحی (%)		
۱۰۰/۰۰	۹۸/۷۴	۶۰/۰۰	شاخص جریان پایه (%)		
۱۱/۱۰	۲/۵۸	۱/۰۴۶	آبدھی (m^3/s)	۰/۶۰	ایما ۱۳۹۷-۱۳۹۶
۲/۳۵	۰/۰۳	۰/۰۰۰	جریان سطحی (m^3/s)		
۹/۶۱	۲/۵۵	۱/۰۴۶	جریان پایه (m^3/s)		
۲۸/۴۶	۰/۹۶	۰/۰۰	شاخص جریان سطحی (%)		
۱۰۰/۰۰	۹۹/۰۴	۷۱/۵۴	شاخص جریان پایه (%)		

نتایج الگوریتم فیوری و گوپتا

نتایج این الگوریتم برای جداسازی جریان پایه چشمکه کهمان به ازای مقادیر بهینه پارامتر فیلتر آلفا در جدول (۹) ارائه شده است. با توجه به مساحت حدود ۱۸۰ کیلومترمربع حوضه آبگیر کهمان، پارامتر d برابر ۵ ساعت، پارامتر C برابر $۰/۶۷$ و مقدار بهینه پارامتر α برابر $۰/۰۷$ و مقدار پارامتر گاما هم برابر ۱ یعنی $۰/۳$ می‌باشد. با استفاده از این الگوریتم شاخص جریان پایه و آب سطحی به ترتیب $۹۹/۵$ و $۰/۵$ درصد محاسبه شده است.

جدول (۹). نتایج روش **RDF**-الگوریتم فیوری و گوپتا با مقادیر بهینه پارامتر فیلتر-چشمکه کهمان

حداکثر	متوسط	حداقل	پارامتر	پارامترهای فیلتر	روش-دوره آماری
				آلفا	
۳۴/۶۲	۲/۶۷	۰/۲۱۸	آبدھی (m^3/s)	۰/۷۰	فیوری و گوپتا ۱۳۹۷-۱۳۷۰
۱۱/۷۹	۰/۰۳	۰/۰۰۰	جریان سطحی (m^3/s)		
۳۴/۶۲	۲/۶۴	۰/۲۱۸	جریان پایه (m^3/s)		

۸۴/۱۳	۰/۴۸	۰/۰۰	شاخص جریان سطحی (%)		
۱۰۰/۰۰	۹۹/۵۲	۱۵/۸۷	شاخص جریان پایه (%)		
۱۱/۱۰	۲/۵۸	۱/۰۴۶	آبدھی (m^3/s)	۰/۷۰	فیوری و گوپتا ۱۳۹۷-۱۳۹۶
۳/۷۸	۰/۰۲	۰/۰۰۰	جریان سطحی (m^3/s)		
۱۰/۲۰	۲/۵۶	۱/۰۴۶	جریان پایه (m^3/s)		
۵۱/۸۶	۰/۲۸	۰/۰۰	شاخص جریان سطحی (%)		
۱۰۰/۰۰	۹۹/۷۲	۴۸/۱۴	شاخص جریان پایه (%)		

مقایسه نتایج الگوریتم‌های مختلف روش RDF

در جدول (۱۰) مقایسه عملکرد الگوریتم‌های مختلف روش RDF بر مبنای روش محتوای ایزوتوپی-اکسیژن پایدار ۱۸ برای چشممه کهمان ارائه شده است. همچنین در شکل (۳) عملکرد الگوریتم‌های مختلف برای جداسازی جریان پایه ارائه شده است.

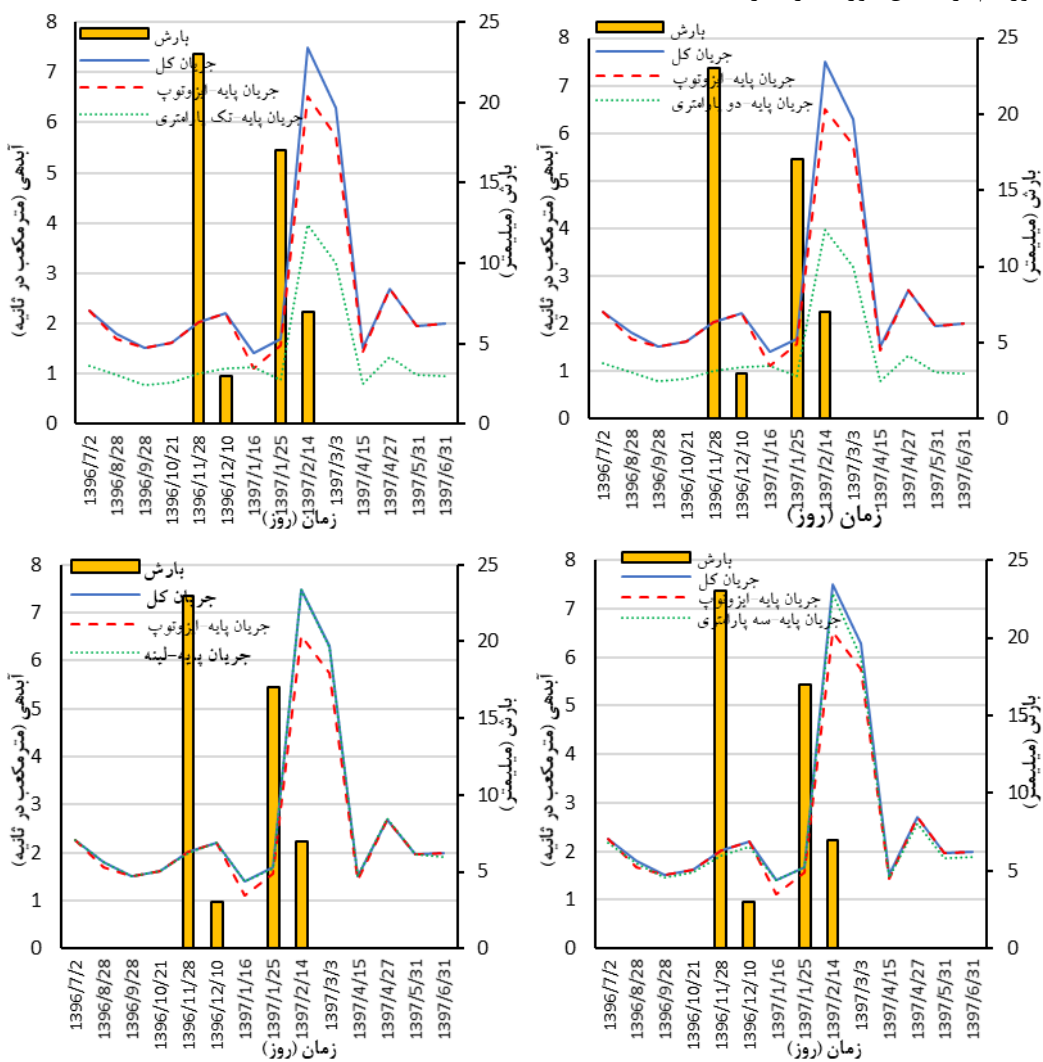
جدول (۱۰). مقایسه عملکرد الگوریتم‌های مختلف روش RDF

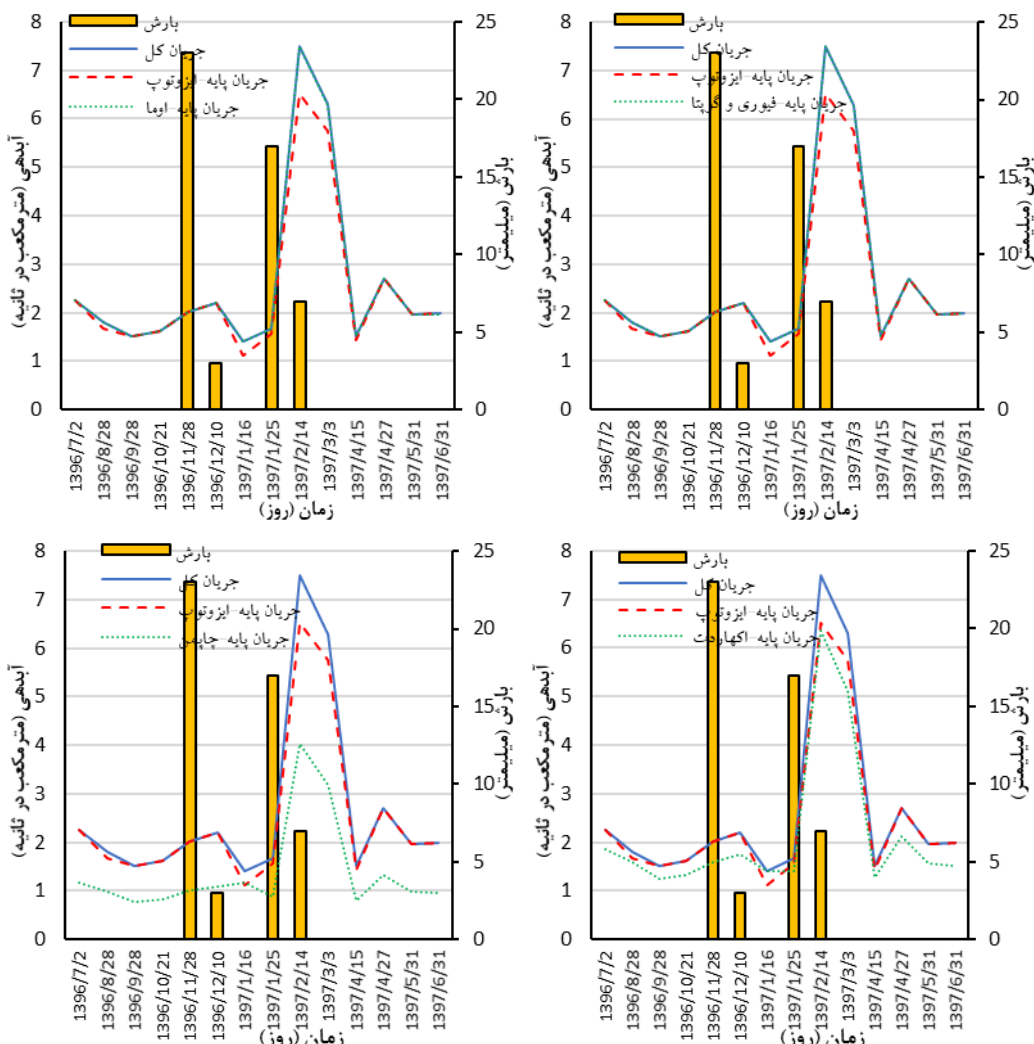
نام الگوریتم	ضریب تعیین R^2	ضریب تعیین RMSE	ضریب تعیین $R^2_{adjusted}$
تک پارامتری	۰/۹۶۲	۱/۲۷۷	۰/۹۵۸
دو پارامتری	۰/۹۶۲	۱/۲۷۷	۰/۹۵۸
سه پارامتری	۰/۹۹۰	۰/۲۴۸	۰/۹۹۰
لینه و هولیک	۰/۹۹۳	۰/۳۱۴	۰/۹۹۳
چاپمن	۰/۹۵۶	۱/۲۶۹	۰/۹۵۲
اکهاردت	۰/۹۸۰	۰/۳۷۴	۰/۹۸۰
ایما	۰/۹۹۴	۰/۳۱۳	۰/۹۹۳
فیوری و گوپتا	۰/۹۹۴	۰/۳۱۵	۰/۹۹۳
متوسط الگوریتم‌ها	۰/۹۷۹	۰/۶۷۳	۰/۹۷۷

با توجه به جدول (۱۰) مشاهده می‌شود که عملکرد الگوریتم‌های سه پارامتری، لینه و هولیک، اکهاردت، ایما و فیوری و گوپتا از نظر شاخص‌های آماری بسیار خوب بوده است ولی باید این مطلب را در نظر گرفت که برخی از این الگوریتم‌ها همه جریان را به عنوان جریان پایه در نظر گرفته‌اند که نیاز به بررسی بیشتر دارد. این مطلب در شکل (۳) بیشتر مورد بررسی قرار گرفته است.

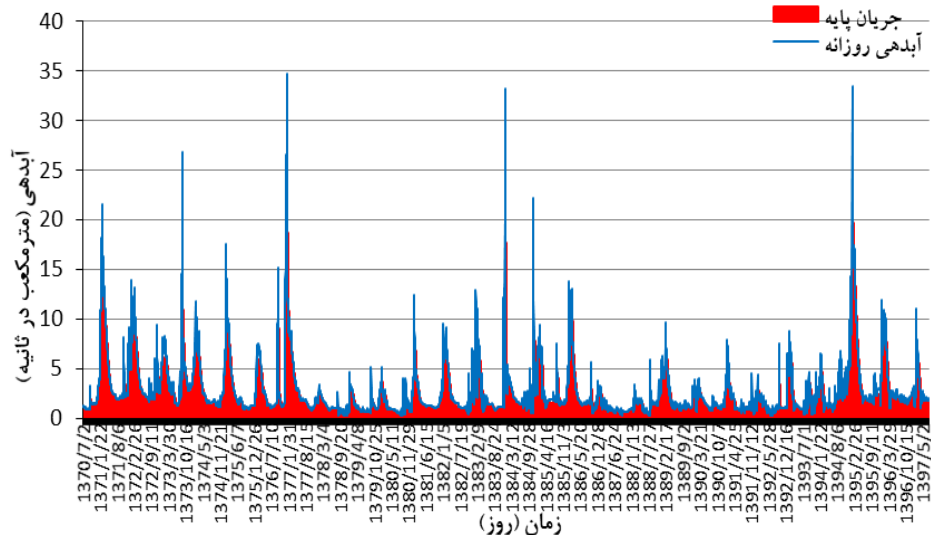
با توجه به شکل (۳) مشاهده می‌شود که الگوریتم‌های تک پارامتری و دو پارامتری برآورده کمتری از روش ایزوتوپی برای جریان پایه در چشممه کهمان داشته است. الگوریتم چاپمن هم جریان پایه را کمتر از روش محتوای ایزوتوپی برآورده است. با توجه به شکل (۳) مشاهده می‌شود که در الگوریتم سه پارامتری، برآورده نقطه حداکثری جریان پایه بیشتر از روش ایزوتوپی در چشممه کهمان بوده است. با توجه به شکل (۳) مشاهده می‌شود که الگوریتم اکهاردت عملکرد خوبی در برآورده جریان پایه نسبت به روش محتوای ایزوتوپی داشته

است. با توجه به شکل (۳) مشاهده می‌شود که الگوریتم‌های لینه و هولیک، ایما و فیوری و گوپتا همه جریان را به عنوان جریان پایه در نظر گرفته‌اند. با بررسی جدول (۱۰) و شکل (۳) مشخص شد که الگوریتم اکهارت عملکرد منطقی‌تر و بهتری از جریان پایه بر مبنای روش محتوا ایزوتوپی برای چشممه کهمان داشته است. لذا در شکل (۴) جداسازی جریان پایه با این الگوریتم برای کل دوره آماری ارائه شده است.





شکل (۳). مقایسه الگوریتم‌های مختلف روش RDF با مقادیر ایزوتوبی اکسیژن ۱۸- چشمکه کهمان.



شکل (۴). هیدروگراف جدایش جریان پایه چشمکه کهمان - روش RDF - الگوریتم اکهارت-دوره آماری ۱۳۹۶-۹۷.

نتیجه‌گیری

در این تحقیق به منظور جداسازی جریان پایه چشمکه کارستی کهمان در شهرستان الشتر، از روش فیلتر دیجیتال بازگشتی استفاده شد. آبدهی روزانه یک دوره ۲۷ ساله (سال آبی ۱۳۷۰-۷۱ تا ۱۳۹۶-۹۷) برای چشمکه کهمان مورد استفاده قرار گرفت. نمونه برداری در سال آبی ۱۳۹۶-۹۷ صورت گرفته است و با آنالیز نمونه‌ها در آزمایشگاه شرکت مصباح انرژی ایران، از نتایج آن در این مطالعه استفاده گردید. نتایج نشان داد که الگوریتم اکهارت از بین دیگر الگوریتم‌های روش فیلتر دیجیتال بازگشتی بر مبنای روش محتوی ایزوتوپی دارای عملکرد بهتری بوده است. متوسط جریان پایه جداسازی شده در چشمکه کهمان با این الگوریتم در کل دوره آماری برابر ۲/۱۲ مترمکعب در ثانیه و در سال آبی ۱۳۹۶-۹۷ برابر ۲/۰۶ مترمکعب در ثانیه می‌باشد. به عبارت دیگر شاخص جریان پایه و آب سطحی در کل دوره آماری و سال آبی ۱۳۹۶-۹۷ به ترتیب برابر ۸۱ و ۱۹ درصد به دست آمده است.

منابع

حصاری، ب..، یوسفی، پ..، علی نیا، م.. (۱۳۹۸). مقایسه اثر روش‌های مختلف فیلتر کردن جریان‌های روزانه برای جداسازی جریان پایه (مطالعه موردی: رودخانه‌های غرب دریاچه ارومیه). اکوهیدرولوژی. (۲) ۶: ۳۰۵-۳۲۱.

زارعی، ح.. (۱۳۹۱). تفکیک جریان پایه از رواناب سطحی با استفاده از تکنیک‌های ایزوتوپی و ردیاب‌های هیدروشیمیایی-حوضه کارستی مناطق نیمه خشک. پایان‌نامه دکتری، هیدرولوژی، دانشکده مهندسی علوم آب، دانشگاه شهید چمران اهواز.

کاظمی، رء. قرمز چشم، ب. (۱۳۹۵). بررسی روش‌های مختلف استخراج جریان پایه با استفاده از شاخص منحنی تداوم جریان (مطالعه موردی: ناحیه خزری). نشریه پژوهش‌های حفاظت آب و خاک، ۲۳(۲): ۱۳۱-۱۳۱.

مالی، سء، ضء، محمدی. (۱۳۹۳). ارزیابی روش‌های برآورده جریان پایه در چشمه‌های کارستی، مطالعه موردی چشمه‌های پیرغار و دیمه. فصلنامه زمین‌شناسی کاربردی پیشرفت، شماره ۱۴: ۳۷-۲۲. مهری، سء، مصطفی‌زاده، رء. اسماعلی عوری، اء، قربانی، ا. (۱۳۹۶). مقایسه روش‌های جداسازی جریان پایه رودخانه و تغییرات فصلی آن در تعدادی از آبخیزهای استان اردبیل. نشریه حفاظت و بهره‌برداری از منابع طبیعی، ۶(۲): ۱۳۷-۱۲۳.

Aksoy, H., I. Kurt and E. Eris., (2009), **Filtered smoothed minima baseflow separation method**. Journal of Hydrology, 372(1-4): 94-101.

Boughton, W.C., (1993), **A hydrograph-based model for estimating water National Conference**. Pub, 93/14: 317-324.

Chapman, T., (1999), **A comparison of algorithms for streamflow recession and baseflow separation**. Hydrological Processes, 3: 701-714.

Chapman, T.G. and A.I. Maxwell., (1996), **Baseflow separation-comparison of numerical methods with tracer experiments**. Hydrology and Water Resources Symposium, Institution of Engineers, Australia, Hobart: 539-545.

Eckhardt, K., (2008), **A comparison of baseflow indices, which were calculated with seven different baseflowseparation methods**. Journal of Hydrology, 352: 168- 173.

Falamarzi, B., H. Zarei, F. Radmanesh and M. Bagherian Marzouni., (2014), **Study on Baseflow Separation of "Abolabas River" Using ADUKIH and RDF Methods**. International Journal of Advanced Biological and Biomedical Research, 2(9): 2616-2626.

Furey, P.R. and V.K. Gupta., (2001), **A physically based filter for separating base flow from streamflow time series**. Water Resources Research, 37(11): 2709-2722.

Lyne, V. and M. Hollick., (1979), **Stochastic time-variable rainfall-runoff modelling**. In: **Hydrology and Water Resources Symposium**. Institution of Engineers, Australia, Perth: 89-92.

Minea, I., (2017), **Streamflow-Base Flow Ratio in a Lowland Area of North-Eastern Romania**. Water Resources and the Regime of Water Bodies, 44 (4):579-585.

Rudra, R., I. Ahmed, A.A. Khan and K.G. Singh., (2015), **Use of Baseflow Indices to Delineate Baseflow Dominated and Rapid Response Flow Dominated Watersheds**. Canadian Biosystems Engineering / Le Genie des biosystems au Canada, 57: 1.1-1.11.